

# 《图与矩阵》习题

刘飞虎

首都师范大学 数学科学学院

2022 年 6 月

这本笔记主要针对《Graphs and Matrices》(Author: R. B. Bapat) 的中文版《图与矩阵》(吴少川译) 所写。

下面内容分为两个部分，一个是《图与矩阵》的一些勘误，（是否正确还未知）均为在阅读过程中发现的；另一部分是此书的一些习题答案，但并不是完整答案。只是作为记录。

刘飞虎

首都师范大学

数学科学学院

# 部分勘误

1、P3 页，倒数第 6 行，余子式的定义应该是代数余子式。全书都是用的余子式。只是作者喜欢这样定义而已，也并不是错误，只是我更喜欢称其代数余子式。

2、P30 页，倒数 11 行，“奇数”应该为“偶数”。

3、P64 页，正数 10 行， $(x_i - x_j)^2$  应为： $(x_i - x_j)$ 。

4、P78 页，正数 10 行，“引理 5.1”应为“定理 5.1”。

5、P82 页，正数 14 行，“由  $F$  导出的子图包含了一个割”应是“由  $F$  导出的子图不包含一个割”。

6、P84 页，正数 11 行  $BB'$  应为  $B$ 。

7、P91 页，第一行，且  $H_1$  不一定是  $G$  的连通的顶点导出子图。但  $H_1$  是  $V(H_1)$  的顶点导出子图的一个连通的支撑子图。

8、P92 页，推论 6.10 的 (ii) 应该为：

$$\frac{1}{4m} \sum_{i=1}^n \sum_{i < j, j \sim i} \sqrt{d_i d_j} \leq \rho(G) \leq \max_i \left\{ \frac{1}{d_i} \sum_{j \sim i} \sqrt{d_i d_j} \right\}$$

或：

$$\frac{1}{2m} \sum_{i=1}^n \sum_{i < j} \sqrt{d_i d_j} \leq \rho(G) \leq \max_i \left\{ \frac{1}{d_i} \sum_{j \sim i} \sqrt{d_i d_j} \right\}$$

9、P92 页，定理 6.11 条件应该加上“连通”二字。

10、P93 页，式 (6.8) 的最后一个  $\leq$  可以是严格的。

11、P93 页，式 (6.8) 的下一行应该有 6 个闭合途径。

12、P101 页，倒数第 6 行，应该为： $m_1 - m_2 = \frac{-k}{\sqrt{k-1}}$ 。

13、P117 页，正数 4 行“推论 7.10”应为：“推论 7.9”。

14、P140 页，倒数 6 行， $\det L(T_1)$  应为： $\det(L(T_1) + E_{11})$ 。

15、P149 页，倒数第二行“ $L$  的任何对称广义逆  $H$ ”。

16、P150 页，(9.3) 式，分母为： $\det L(j|j)$ 。

17、P183 页，正数第 5 行  $B = A - \varepsilon A$  是部分半正定的。

18、P184 页，倒数第 5 行， $B[i, j|i, j]$  的右上角矩阵位置处，应为  $(-1)^{i+j} A(j|i)$ 。

19、P185 页，(11.4) 式中， $(-1)^n$ 。下面的  $x_0$  中为  $(-1)^{n-1}$ 。

20、P197 页，(12.9) 式中，第一个求和式为： $\sum_{j=1}^m$ 。

21、P198 页，(12.10) 式中，同样为  $m$ 。

22、P198 页，倒数第 10 行，推论 12.10 应为引理 12.9。

# 图与矩阵习题答案

## 1 第一章：预备知识

1、证明. 由  $Ax = 0$ , 显然可得  $A'Ax = 0$ 。反之, 如果  $A'Ax = 0$ , 那么  $x'A'Ax = 0$ 。即  $(Ax)'Ax = 0$ 。因此  $Ax = 0$ 。故  $A$  与  $A'$  有相同的零空间。再由  $\dim N(A) = \dim N(A'A)$ , 可得  $n - \text{rank} A = n - \text{rank} A'A$ 。即:  $\text{rank} A = \text{rank} A'A$ 。□

2、证明. 归纳法: 如  $A = (A_{11})$  则不等式显然成立。若  $A = \begin{pmatrix} A_{11} & 0 \\ A_{12} & A_{22} \end{pmatrix}$  则:

$$\begin{aligned} \text{rank} A &= \text{rank}(A_{11}, 0) + \text{rank}(A_{21}, A_{22}) \\ &\geq \text{rank}(A_{11}) + \text{rank}(A_{22}) \end{aligned}$$

(由于  $A_{22}$  中的每一列, 都可由  $(A_{21}, A_{22})$  中的每一列线性表示出, 故  $\text{rank}(A_{22}) \leq \text{rank}(A_{21}, A_{22})$ ) 现假设  $k-1$  时, 有不等式:  $\text{rank} A \geq \text{rank} A_{11} + \dots + \text{rank} A_{k-1, k-1}$ 。现在讨论  $k$  时, 则:

$$\begin{aligned} \text{rank} A &= \text{rank} \begin{pmatrix} A_{11} & 0 & \dots & 0 \\ A_{21} & A_{22} & \dots & 0 \\ \cdot & \cdot & \dots & \cdot \\ \cdot & \cdot & \dots & \cdot \\ \cdot & \cdot & \dots & \cdot \\ A_{k-1,1} & A_{k-1,2} & \dots & A_{k-1,k-1} \end{pmatrix} + \text{rank}(A_{k1}, A_{k2}, \dots, A_{kk}) \\ &\geq \text{rank} A_{11} + \dots + \text{rank} A_{k-1, k-1} + \text{rank} A_{kk} \end{aligned}$$

若  $A_{ij} = 0$ , 则显然有:

$$\text{rank} A = \text{rank} A_{11} + \text{rank} A_{22} + \dots + \text{rank} A_{kk}$$

证毕。□

3、证明. 由  $A$  是正交矩阵, 故  $AA' = E$ , 即  $A' = A^{-1}$ ,  $|A| = \pm 1$ 。由于  $A^{-1} = \frac{A^*}{\det A}$  ( $A^*$  是  $A$  的伴随矩阵)。因此  $AA^* = \det A \cdot E = \pm E$ 。故:

$$A^* = A^{-1}(\pm E) = A'(\pm E)$$

可得:  $A_{ij} = \pm a_{ij}$  因此:  $|a_{11}| = |\det A(1|1)|$ 。□

4、证明. ( $\Leftarrow$ ) 若  $G = A^+$ , 则有:

$$AGA = A \Rightarrow A'G'A' = A' \Rightarrow A'(AG)' = A' \Rightarrow A'AG = A'$$

$$GAG = G \Rightarrow G'A'G' = G' \Rightarrow G'(GA)' = G' \Rightarrow G'GA = G'$$

( $\Rightarrow$ ) 若有  $A'AG = A'$  与  $G'GA = G'$  成立。由第 1 题知:  $\text{rank} A'A = \text{rank} A$ 。

(1): 于是对于某个矩阵  $X$ , 可以写为  $A = XA'A$ , 则:

$$A = XA'A = XA'AGA = AGA$$

(2): 由  $A'AG = A'$ , 得:  $G'A' = G'A'AG = (AG)'AG$ 。于是:

$$(AG)' = (AG)'AG, AG = (AG)'AG$$

故:  $(AG)' = G'A' = AG$ , 成立。

(3): 由  $G'GA = G'$ , 同理由  $\text{rank} GG' = \text{rank} G$ 。得:  $G = YG'G$  (某矩阵  $Y$ )。于是:

$$G = YG'G = YG'GAG = GAG$$

(4): 同理可得  $GA$  是对称矩阵, 即有  $(GA)' = GA$ 。 □

另法. 知道  $(AG)' = AG, (GA)' = GA$  后,

$$AGA = (AG)'A = G'A'A = (A'AG)' = (A')' = A$$

$$GAG = (GA)'G = A'G'G = (G'GA)' = (G')' = G$$

□

5、证明. 由  $A$  是一个秩为 1 的矩阵, 则一定存在一行元素使得其它行的元素

都是它的倍数。不妨设：

$$\begin{aligned}
 A &= \begin{pmatrix} x_1 y_1 & x_1 y_2 & \dots & x_1 y_n \\ x_2 y_1 & x_2 y_2 & \dots & x_2 y_n \\ \cdot & \cdot & \dots & \cdot \\ \cdot & \cdot & \dots & \cdot \\ \cdot & \cdot & \dots & \cdot \\ x_m y_1 & x_m y_2 & \dots & x_m y_n \end{pmatrix} \\
 &= \begin{pmatrix} x_1 \\ x_2 \\ \cdot \\ \cdot \\ \cdot \\ x_m \end{pmatrix} (y_1, y_2, \dots, y_n) \\
 &= xy' = BC
 \end{aligned}$$

则上式为  $A$  的秩分解。有 1.3 节的讨论 (P12 页), 可知:

$$A^+ = C^+ B^+$$

其中:  $B^+ = (x'x)^{-1}x', C^+ = y(y'y)^{-1}$ . 因此:

$$\begin{aligned}
 A^+ &= (y'y)^{-1}(x'x)^{-1}(xy')' \\
 &= (y'y)^{-1}(x'x)^{-1}A' \\
 &= \frac{1}{\sum_{i=1}^n y_i^2} \frac{1}{\sum_{i=1}^m x_i^2} A'
 \end{aligned}$$

因此,  $\alpha$  存在, 且  $\alpha$  为:

$$\alpha = \frac{1}{\sum_{i=1}^n y_i^2} \frac{1}{\sum_{i=1}^m x_i^2} = [\text{trace}(A'A)]^{-1}$$

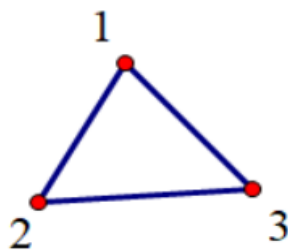
证毕。 □

## 2 第二章：关联矩阵

1、证明. 由于  $B$  是  $Q$  的一个  $k \times k$  的非奇异子矩阵。故  $B$  中一定存在一个  $1, \dots, k$  的排列  $\sigma$ , 使得乘积  $b_{1\sigma(1)} \cdots b_{k\sigma(k)}$  非零。由于  $B$  中的元素为  $0, 1, -1$ , 且每列元素均含有非零元。故  $B$  中有一列只有一个非零元, 则可以删除此非零

元所在的行，所在的列。则得到的矩阵  $B'$  仍为非奇异子矩阵。若此矩阵  $B'$  存在两个排列使得  $b_{1\sigma(1)} \cdots b_{k\sigma(k)}$  非零。则将矩阵  $B'$  所在行加至最后一行，得最后一行全为 0，与  $B'$  为非奇异矩阵矛盾。故存在且中存在一个排列  $\sigma$  满足条件。

对 0-1 关联矩阵不一定成立。例如：下图：

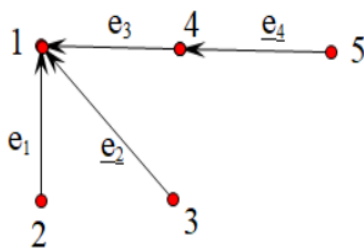


其中：

$$M = \begin{pmatrix} 1 & 1 & 0 \\ 1 & 0 & 1 \\ 0 & 1 & 1 \end{pmatrix}$$

取  $B = M, |B| = |M| = -2$ ，但是  $\sigma_1 = (213), \sigma_2 = (132)$  均满足条件。  $\square$

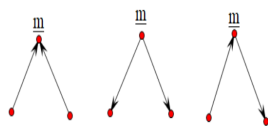
2、证明. 假设  $y_i = 1, y_j = -1, y_k = 0, k \neq i, k \neq j$ ，考虑一个  $(i \rightarrow j)$  的路径  $P$ ，设  $x$  是一个坐标由  $E(G)$  索引的向量。如果  $e_k$  不在  $P$  中，那么设置  $x_k = 0$ ，否则根据  $e_k$  的方向与  $P$  的方向相同或相反，分别设置  $x_k = 1$  或  $x_k = -1$ 。例如下图：



令  $i = 3, j = 5$ , 有:

$$\begin{pmatrix} -1 & -1 & -1 & 0 \\ 1 & 0 & 0 & 0 \\ 0 & 1 & 0 & 0 \\ 0 & 0 & 1 & -1 \\ 0 & 0 & 0 & -1 \end{pmatrix} \begin{pmatrix} 0 \\ 1 \\ -1 \\ -1 \end{pmatrix} = \begin{pmatrix} 0 \\ 0 \\ 1 \\ 0 \\ -1 \end{pmatrix}$$

现在验证  $Qx = y$ : 先看第  $i$  行, 在路径  $P$  中与点  $i$  关联的边为  $e_{*1}$ , 若方向指向  $j$ , 则  $Q$  中  $(i, *1)$  为 1。在向量  $x$  中  $e_{*1}$  标记的元素为 1。其他对应位置相乘为 0。故在  $y$  中第  $i$  行元素为 1, 若方向指向相反, 同理为  $(-1) \times (-1) = 1$ 。同理第  $j$  行为  $1 \times (-1) = -1$ 。再看其他行, 若标记此行的点不在路径中, 则显然在  $y$  中的结果为 0。若在路径中, 记为点  $m$ , 有三种情况:



简单分析可知, 此三种情况的结果在  $y$  中均为 0。得证。  $\square$

3、解.  $Q^+ = Q'(QQ')^{-1}$ , 下验证:

$$Q \cdot Q^+ \cdot Q = Q, Q^+ \cdot Q \cdot Q^+ = Q^+$$

$$(Q \cdot Q^+)' = I = QQ^+, (Q^+ \cdot Q)' = I = Q^+Q$$

由  $Q$  是  $K_n$  的关联矩阵, 故:

$$QQ' = \begin{pmatrix} n-1 & -1 & \dots & -1 \\ -1 & n-1 & \dots & -1 \\ \cdot & \cdot & \dots & \cdot \\ \cdot & \cdot & \dots & \cdot \\ -1 & -1 & \dots & n-1 \end{pmatrix} = nI_n - J_n$$

(怎么求得的)? (未完.....)  $\square$

4、证明. 反证, 若  $G$  不是二部的, 则图  $G$  存在一个奇数圈。现考虑对应于这个圈的  $M$  的子矩阵  $M'$  ( $n \geq 3$ )。则由引理 2.16. 有  $\det M' = 2$ , 与  $M$  是全幺模的条件矛盾。  $\square$

5、证明. 设  $G$  是二部图, 并且二部为  $(X, Y)$ ; 其中  $X = Y = \{1, 2, \dots, n\}$ , 当且仅当  $a_{ij} = 1$  时,  $i$  与  $j$  是相邻的, 条件 (i) 等价于  $v(G) < n$ 。显然由于对任意排列  $\sigma$ ,  $a_{1\sigma(1)} \cdots a_{n\sigma(n)} = 0$ , 即都存在一个  $a_{i\sigma(i)} = 0$ 。故条件 (i)  $\iff$  匹配数  $v(G) < n \iff \tau(G) = v(G) < n$ 。而由定点覆盖的含义: 图  $G$  中每条边都与该顶点集合中的一个顶点相关联, 且顶点个数最少。设在  $X$  中取了  $x$  个点,  $Y$  中取了  $y$  个点,  $\tau(G) = x + y < n$ 。则  $n + n - (x + y) > 2n - n = n$  故存在一个  $r \times s$  阶零子矩阵, 使得  $r + s = n + 1$ 。反之, 若存在  $r \times s$  阶零子矩阵  $r + s = n + 1$ , 则  $\tau(G) < n \iff A$  有一个  $r \times s$  阶零子矩阵, 其中  $r + s = n + 1$ 。  $\square$

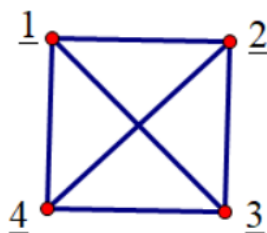
### 3 第三章: 邻接矩阵

1、证明. 左图中存在一个点有 5 条关联的边, 右图中不存在这样的点, 故两图不同构。证明特征值相同: 法 1: 计算两个图的邻接矩阵, 两个图的特征多项式为:  $\lambda^6 - 7\lambda^4 - 4\lambda^3 + 7\lambda^2 + 4\lambda - 1$  计算特征值, 比较即可。法 2: 由定理 3.10:

$$\varphi_\lambda(A) = \det(\lambda I - A) = \lambda^n + c_1 \lambda^{n-1} + \dots + c_n$$

为图的特征多项式,  $c_k = \sum (-1)^{c_1(H) + c(H)} 2^{c(H)}$ 。其中求和式遍历图的具有  $k$  个顶点的所有初等子图。  $c_1 = 0$ 。可求出所有  $c_k$ 。从而证明特征值相同。  $\square$

2、证明. 如图:



$$H_1 = \{12, 34\}, H_2 = \{14, 23\}, H_3 = \{13, 24\}$$

$$H_4 = \{12, 23, 34, 14\}, H_5 = \{13, 23, 24, 14\}, H_6 = \{12, 34, 13, 24\}$$

$$\text{故: } \det(K_4) = 3 \cdot (-1)^{4-2} \cdot 2^0 + 3(-1)^{4-1} \cdot 2^1 = 3 - 6 = -3. \quad \square$$



3、证明.

$$c_4 = \sum (-1)^{c_1(H)+c(H)} 2^{c(H)} = \sum_{H_1} (-1)^2 + \sum_{H_2} (-1)^1 2 = \sum_{H_1} 1 - 2 \sum_{H_2} 1$$

其中求和遍历图  $G$  中具有 4 个顶点的所有初等子图, 故若存在  $H$ , 如果  $H$  中存在圈, 则为一个 4 圈, 故  $c(H) = 1$ ; 如果  $H$  中不存在图, 则  $H$  存在两条边,  $c_1(H) = 2$ 。且其中和式遍历  $H_1$  为所有 2 边初等子图,  $H_2$  为所有 4- 圈; 得证。□

4、证明. 由平面图的相关知识:

- 1、平面图的色数  $\chi(G) \leq 5$ 。
- 2、 $G$  是连通平面图, 那么  $G$  有一个度至多为 5 的顶点,  $\Delta(G) \leq 5$ 。
- 3、 $G$  是平面的当且仅当  $G$  不含  $K_{33}$  或  $K_5$  的分子子图。
- 4、Hadwiger 猜想: 色数满足  $\chi(G) \geq p$  的连通图  $G$  能收缩到  $K_p$ 。等价的, 如果  $G$  不能收缩到  $K_p$ , 则:  $\chi(G) < p$ 。
- 5、Hadwiger 猜想对于  $p = 5$  时成立, 当且仅当每个平面图有 4 着色。

由四色定理: (Wikipedia) 如果在平面上划出一些邻接的有限区域, 那么可以用四种颜色来染色, 使得每两个邻接区域染色的颜色都不一样。(此定理由 Francis Guthrie 提出, 1976 年 6 月在美国伊利诺斯大学的两台不同计算机上, 用了 1200 个小时, 做了 100 亿个判断, 结果没有一张地图是需要五色的, 最终证明了四色定理。) 因此任何平面图都是四可着色, 故  $\chi(G) \leq 4$ 。

再由定理 3.23, 若  $G$  至少含有一条边, 则:

$$1 - \frac{\lambda_1(G)}{\lambda_n(G)} \leq \chi(G) \leq 4$$

故由  $\lambda_n(G) \leq 0$ , 由 P9 页, 特征值交错可知

$$\frac{\lambda_1(G)}{\lambda_n(G)} \geq -3 \implies \lambda_1(G) \leq -3\lambda_n(G)$$

如果  $G$  无边, 则显然有:  $\lambda_1(G) \leq -3\lambda_n(G)$  成立。□

5、证明. 由  $K_n$  的特征值为  $(n-1), -1$ , 重数为  $1, n-1$ 。  $K_{m,n}$  的特征值为:  $\sqrt{mn}, -\sqrt{mn}$  与 0. 重数为  $1, 1, m+n-1$ 。故:

$$\epsilon(K_n) = \sum_{i=1}^n |\lambda_i| = n-1 + (n-1) \cdot |-1| = 2n-2$$

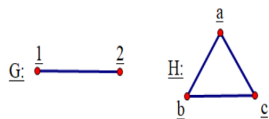
$$\epsilon(K_{m,n}) = \sum_{i=1}^n |\lambda_i| = 2\sqrt{mn}$$

由  $K_n$  的能量为  $2n-2$ , 故一个图的能量可以是任意正偶数。□

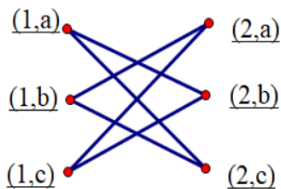
6、证明. 由  $A \otimes B$  为矩阵的克罗内克积, 令  $A$  为  $n \times n$ ,  $B$  为  $m \times m$  的矩阵。

$$A \otimes B = (a_{ij}B) = \begin{pmatrix} 0 & a_{12}B & a_{13}B & \dots & a_{1n}B \\ a_{21}B & 0 & a_{23}B & \dots & a_{2n}B \\ \vdots & \vdots & \vdots & \dots & \vdots \\ \vdots & \vdots & \vdots & \dots & \vdots \\ a_{n1}B & a_{n2}B & a_{n3}B & \dots & 0 \end{pmatrix}$$

由  $G \otimes H$  的定义可知:  $A \otimes B$  为  $G \otimes H$  的邻接矩阵。例如:



故  $G \otimes H$ :



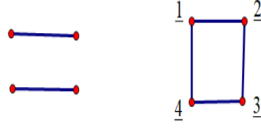
则  $G \otimes H$  的邻接矩阵为:

$$\begin{pmatrix} 0 & 0 & 0 & 0 & 1 & 1 \\ 0 & 0 & 0 & 1 & 0 & 1 \\ 0 & 0 & 0 & 1 & 1 & 0 \\ 0 & 1 & 1 & 0 & 0 & 0 \\ 1 & 0 & 1 & 0 & 0 & 0 \\ 1 & 1 & 0 & 0 & 0 & 0 \end{pmatrix}$$

由引理 3.25  $A \otimes B$  的特征值为  $\lambda_i \mu_j$ ,  $i = 1 \dots n, j = 1 \dots m$ 。故:

$$\epsilon(G)\epsilon(H) = \left(\sum_{i=1}^n |\lambda_i|\right) \left(\sum_{j=1}^m |\mu_j|\right) = \sum_{i=1}^{mn} |\lambda_i \mu_j| = \epsilon(G \otimes H)$$

得证。 □



7、证明. 由图  $K_2 \otimes K_2, C_4$  的图分别为:

故由第 6 题中的定义, 显然有:  $G \otimes K_2 \otimes K_2$  与  $G \otimes C_4$  不同构。由  $K_2$  的特征值为  $\lambda = \pm 1$ , 故:

$$\varepsilon(K_2 \otimes K_2) = \varepsilon(K_2) \cdot \varepsilon(K_2) = 2 \cdot 2 = 4$$

由  $C_4$  的特征值为:  $2\cos\frac{2k\pi}{4}, k = 1, 2, 3, 4$ , 为  $0, -2, 0, -2$  故:  $\varepsilon(C_4) = 4$ . 再由第 6 题结论得:  $\varepsilon(G \otimes K_2 \otimes K_2) = 4\varepsilon(G) = \varepsilon(G \otimes C_4)$  得证。□

8、证明. 由:

$$A(G_1) = \begin{pmatrix} 0 & 1 \\ 1 & 0 \end{pmatrix} \otimes A \quad A(G_2) = \begin{pmatrix} 1 & 1 \\ 1 & 1 \end{pmatrix} \otimes A$$

为矩阵克罗内克积, 注意按本书的定义:  $\begin{pmatrix} 1 & 1 \\ 1 & 1 \end{pmatrix}$  并非一个图的邻接矩阵, 故不可以直接使用第 6, 7 题的结论。由:  $\begin{pmatrix} 0 & 1 \\ 1 & 0 \end{pmatrix}$  的特征值为  $\pm 1$ ,  $\begin{pmatrix} 1 & 1 \\ 1 & 1 \end{pmatrix}$  的特征值为  $0, 2$ 。故由引理 3.25  $A(G_1)$  的特征值为  $A$  的特征值, 与负的  $A$  的特征值。 $A(G_2)$  的特征值为 2 倍的  $A$  的特征值与 0. 因此:

$$\varepsilon(A(G_1)) = \sum 2|A \text{ 的特征值}| = \varepsilon(A(G_2)) \quad (1)$$

得证。□

9、证明. 设  $n$  是图  $T$  的一个悬挂顶点 (叶子) 并与  $n-1$  相邻, 假设对  $T \setminus \{n\}$  的树, 命题成立。则对:

$$A = \begin{pmatrix} & & & & * & 0 \\ & & & & * & 0 \\ & B & & \cdot & \cdot & \\ & & & \cdot & \cdot & \\ & & & * & 0 & \\ * & * & \cdot & \cdot & 0 & 1 \\ 0 & 0 & \cdot & \cdot & 1 & 0 \end{pmatrix} \quad A(T \setminus \{n\}) = \begin{pmatrix} & & & & * \\ & & & & * \\ B & & & \cdot & \\ & & & \cdot & \\ * & * & \cdot & \cdot & 0 \end{pmatrix}$$

由  $T \setminus \{n\}$  是全幺模的，现观察  $A$ ，取  $A$  的任意一个方子阵。若此方子阵不含最后一行或不含最后一列中的位置，或是  $T \setminus \{n\}$  的一个方子阵，则：此时显然是取行列式为  $\pm 1$  或  $0$ 。若此方阵含最后一行且含最后一列中的位置，且不是  $T \setminus \{n\}$  的方子阵，此时的矩阵除取  $0$  外，必包含： $\begin{pmatrix} 0 & 1 \\ 1 & 0 \end{pmatrix}$  部分位于矩阵的右下角，又  $A$  的最后一行最后一列均只有  $1$  个非  $0$  元素，故按这两个非  $0$  元素展开行列式，最后为  $(-1)^i$  ( $T \setminus \{n\}$  的一个方子阵) 结果仍为  $\pm 1$  或  $0$ 。得证。□

## 4 第四章：拉普拉斯矩阵

1、证明。(法 1) 设  $L(G)$  的特征值为  $\lambda_1 \geq \cdots \lambda_{n-1} \lambda_n = 0$  则由引理 4.5 得： $L + J$  的特征值为： $\lambda_1 \geq \cdots \lambda_{n-1}$  与  $n$ 。故  $\det(L + J) = n \cdot \lambda_1 \cdots \lambda_{n-1}$ ，由定理 4.11 得： $G$  的支撑树的数量为：

$$\frac{\lambda_1 \cdots \lambda_{n-1}}{n} = \frac{n \cdot \lambda_1 \cdots \lambda_{n-1}}{n^2} = \frac{\det(L + J)}{n^2}$$

(法 2) 反复运用拉普拉斯展开可以证明  $\det(L + J)$  等于  $\det L$  与  $L$  所有代数余子式之和。例如：

$$\begin{aligned} \det(L + J) &= \begin{bmatrix} a_{11} + 1 & a_{12} + 1 & a_{13} + 1 \\ a_{21} + 1 & a_{22} + 1 & a_{23} + 1 \\ a_{31} + 1 & a_{32} + 1 & a_{33} + 1 \end{bmatrix} \\ &= \begin{bmatrix} a_{11} & a_{12} & a_{13} \\ a_{21} + 1 & a_{22} + 1 & a_{23} + 1 \\ a_{31} + 1 & a_{32} + 1 & a_{33} + 1 \end{bmatrix} + \begin{bmatrix} 1 & 1 & 1 \\ a_{21} + 1 & a_{22} + 1 & a_{23} + 1 \\ a_{31} + 1 & a_{32} + 1 & a_{33} + 1 \end{bmatrix} \\ &= \dots \\ &= \begin{bmatrix} a_{11} & a_{12} & a_{13} \\ a_{21} & a_{22} & a_{23} \\ a_{31} & a_{32} & a_{33} \end{bmatrix} + \begin{bmatrix} 1 & 1 & 1 \\ a_{21} & a_{22} & a_{23} \\ a_{31} & a_{32} & a_{33} \end{bmatrix} + \begin{bmatrix} a_{11} & a_{12} & a_{13} \\ 1 & 1 & 1 \\ a_{31} & a_{32} & a_{33} \end{bmatrix} \\ &\quad + \begin{bmatrix} a_{11} & a_{12} & a_{13} \\ a_{21} & a_{22} & a_{23} \\ 1 & 1 & 1 \end{bmatrix} \end{aligned}$$

由于  $\det L = 0$ ，故  $\det(L + J) = L$  所有代数余子式之和。

(法 3) 见引理 8.3，使用定理 4.8 (未证)

□

2、证明. 设图  $G, H$  的邻接矩阵为  $A_{n \times n}, B_{m \times m}$ ,  $G \times H$  的邻接矩阵为  $A \otimes I_m + I_n \otimes B$ 。则:

$$L(G) = D(G) - A(G) = D(G) - A$$

$$L(H) = D(H) - A(H) = D(H) - B$$

$$\begin{aligned} L(G \times H) &= D(G \times H) - (A \otimes I_m + I_n \otimes B) \\ &= (D(G) \otimes I_m + I_n \otimes D(H)) - (A \otimes I_m + I_n \otimes B) \\ &\quad \text{图中每个顶点的度等于此顶点两个分量的点在原图中的度之和} \\ &= (D(G) - A) \otimes I_m + I_n (D(H) - B) \\ &= L(G) \otimes I_m + I_n \otimes L(H) \end{aligned}$$

设  $\lambda_1, \dots, \lambda_n$  与  $\mu_1, \dots, \mu_m$  分别是  $L(G)$  与  $L(H)$  的特征值, 那么由引理 3.24.  $L(G \times H)$  的特征值是  $\lambda_i + \mu_j$  ( $i = 1 \dots n; j = 1 \dots m$ )。□

3、证明. 设  $L(G)$  的特征值为  $\lambda_1 \geq \dots \geq \lambda_{n-1} \geq \lambda_n = 0$ , 故由图  $G$  有  $m$  条边得:

$$\sum_{i=1}^{n-1} \lambda_i = \sum_{i=1}^n \lambda_i = \text{所有点的度之和} = 2m \quad (2)$$

由定理 4.11 得:  $\kappa(G) = \frac{\lambda_1 \cdots \lambda_{n-1}}{n}$  由不等式:  $\frac{1}{n} \sum_{i=1}^n a_i \geq \sqrt[n]{a_1 \cdots a_n}$  得:

$$\kappa(G) = \frac{1}{n} \lambda_1 \cdots \lambda_{n-1} \leq \frac{1}{n} \left( \frac{\sum_{i=1}^{n-1} \lambda_i}{n-1} \right)^{n-1} = \frac{1}{n} \left( \frac{2m}{n-1} \right)^{n-1}$$

得证。□

4、证明. 由定理 4.13,  $\lambda_1 \leq \max\{d_i + d_j - c(i, j) : 1 \leq i < j \leq n, i \sim j\}$ 。  $d_i$  为顶点的度。  $c(i, j)$  是与  $i$  和  $j$  都相邻的顶点的数量。故, 显然:

$$\lambda_1 \leq \max\{d_i + d_j - c(i, j) : 1 \leq i < j \leq n, i \sim j\} \leq n$$

□

5、证明. 由边拉普拉斯矩阵  $K$  的定义, 若  $K$  为一个非负矩阵, 则图  $G$  的定向中不存在首尾相连的边, 由树  $T$  是一个二部图, 故  $T = X \cup Y$ , 令所有边从  $X$  指向  $Y$ , 即可不会出现首尾相连的边, 此时  $K$  是一个非负矩阵。

(注: 对任意二部图, 这样构造得到的  $K$  均是非负矩阵)。□

6、证明. • 证明  $(A')^+ = (A^+)'$  验证  $(A^+)'$  满足  $A'$  的 Moore-Penrose 逆定义。

$$(1) A'(A^+)'A' = (A^+A)'A' = (AA^+A)' = A'$$

$$(2) (A^+)'A'(A^+)' = (A^+AA^+)' = (A^+)'$$

$$(3) (A'(A^+))' = A^+A = (A^+A)' = A'(A^+)'$$

$$(4) ((A^+)'A')' = AA^+ = (AA^+)' = (A^+)'A'$$

• 由  $A^+AA' = (A^+A)'A' = A'(A^+)'A' = (AA^+A)' = A'$  现在验证  $(A')^+A^+$  是  $AA'$  的 Moore-Penrose 逆。

$$(1) AA'(A')^+A^+AA' = AA'(A^+)'A^+AA' = AA'(A^+)'A' = A(AA^+A)' = AA'$$

$$(2) (A')^+A^+AA'(A')^+A^+ = (A')^+A'(A')^+A^+ = (A^+AA^+)'A^+ = (A^+)'A^+ = (A')^+A^+$$

$$(3) (AA'(A')^+A^+)' = (A^+)'A^+AA' = (A^+)'A' = (AA^+)' = AA^+ = (A')^+A^+ = (A^+AA^+)'A^+ = AA'(A')^+A^+$$

$$(4) ((A')^+A^+AA')' = AA'(A^+)'A^+ = (A^+AA^+)'A^+ = AA^+ = (AA^+)' = (A^+)'A' = (A^+)'A^+AA' = (A')^+A^+AA' \quad \square$$

## 5 第五章：圈与割

1、证明. 由  $B = [I, B_f], C = [C_f, I]$  及  $B_f = -C_f'$ 。得：

$$\begin{bmatrix} B \\ C \end{bmatrix} = \begin{bmatrix} I & B_f \\ -B_f' & I \end{bmatrix}$$

故由 Schur 补公式可得： $\det \begin{bmatrix} B \\ C \end{bmatrix} = \det[I + B_f'B_f]$  由矩阵  $B_f'B_f$  为对称矩阵，其  
对角线元素全正。且每一行中对角线元素大于非对角线元素的绝对值之和。显然  
 $I + B_f'B_f$  为主对角占优矩阵，且是严格主对角占优矩阵。故  $\det[I + B_f'B_f] \neq 0$ 。  
得证。  $\square$

2、证明（未证完）。由题意，设  $B$  是基本割矩阵，故  $B$  的行向量构成了  $G$  的  
割子空间的基，而：

$$X' = \begin{bmatrix} (X^1)' \\ \vdots \\ (X^{n-1})' \end{bmatrix}$$

的行是割的关联向量，是  $X^1, \dots, X^{n-1}$  线性独立，故存在  $(n-1) \times (n-1)$  的非奇异矩阵  $Z$ ，使得  $X' = ZB$ ，而矩阵  $B$  是全幺模的。要证明  $X$  所有非  $0(n-1) \times (n-1)$  子式相等，只需说明  $B$  的所有非  $0(n-1) \times (n-1)$  子式相等。.....  $\square$

3、证明. 与定理 5.13 的证明同理。令  $|E| = k$ ，由柯西-比内公式，有：

$$\det CC'[E|E] = \sum_{F \subset E(G), |F|=k} (\det C[E|F])^2$$

其中  $C[E|F]$  表示由  $E$  中的行和  $F$  中的列来进行索引的  $C$  的子矩阵。注意到  $C[E(T)^c|E(T)^c]$  为单位矩阵。因此，当且仅当  $C[E(T)^c|F \cup E^c]$  是非奇异的； $C[E|F]$  才是非奇异的。此时由引理 5.12.  $\det C[E|F] = \pm 1$ ，再由引理 5.9 得：当且仅当  $F \cup E^c$  构成一个  $G$  的余树时， $C[E(T)^c|F \cup E^c]$  才是非奇异的。故由第二行得到的式子得证。  $\square$

4、证明. 由定理 5.13， $\det BB'[E(T_1)|E(T_1)]$  等于把  $E(T_1)^c$  扩展成  $G$  的支撑树的方法数，故也是  $G$  中包含子树  $T_1$  的支撑树的数量。(1)

由定理 4.7， $\det L(V(T_1)|V(T_1))$  等于  $G$  中含有  $\#V(T_1)$  个分支的支撑森林的数量。其中每一个分支都包含了  $\#V(T_1)$  中的一个顶点。(2)

显然 (1) 与 (2) 之间是一个一一对应的关系，故得证。  $\square$

5、待证. 一个图  $G$  是连通平面图，且  $G^*$  是它的对偶图，则  $G^*$  很容易有自环与重边。 $Q(G^*)$  的定义是否要作修正？可以参考《代数组合论》stanley 著，辛国策、周岳译。P154 页，定理 11.17.  $\square$

## 6 第六章：正则图

1、证明. 设  $A$  是  $G$  的邻接矩阵，并假设  $u \geq 0$ ，满足  $Au = \mu u$ ，存在  $x > 0$  使得  $Ax = \rho(G)x$ ，现考虑  $u'Ax$  得：

$$u'Ax = u'\rho(G)x = \rho(G)u'x$$

$$u'Ax = u'A'x = (Au)'x = \mu u'x$$

故：  $\mu = \rho(G)$  得证。  $\square$

2、证明. 反证法，若  $G$  是有圈的，假设存在一个圈在  $G$  中为  $H = C_m$ 。则由定理 3.6，可得  $\rho(H) = 2$ ，再由定理 6.6， $H$  是  $G$  的一个子图。则  $\rho(G) \geq \rho(H) = 2$ ，矛盾，因此， $G$  一定无圈的。若存在一个顶点的度是 4，则  $G$  存在子图

$H \leq G, H = K_{1,4}$ 。由定理 3.4, 可得  $\rho(H) = \sqrt{1 \cdot 4} = 2$ , 在由定理 6.6, 可得  $\rho(G) \geq \rho(H) = 2$ , 矛盾。因此  $G$  的任何一个顶点的度最多是 3。  
(需不需要说明, 3 是可以取到的? 不过我想这样的例子应该有很多。)  $\square$

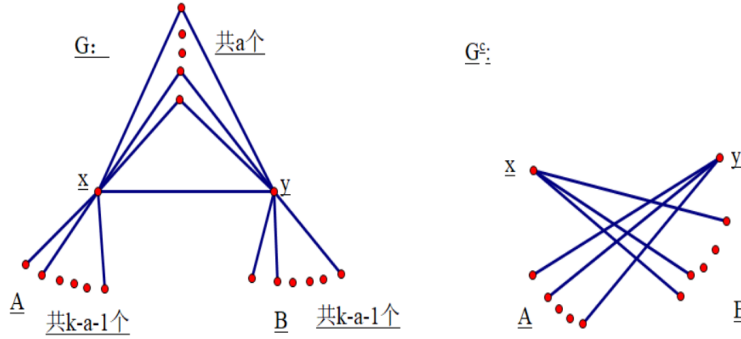
3、证明. 设  $G_1$  的特征值为  $k_1 = \lambda_1, \lambda_2, \dots, \lambda_{n_1}$   $G_2$  的特征值为  $k_2 = \mu_1, \mu_2, \dots, \mu_{n_2}$  故  $G_1^c$  的特征值为:  $n_1 - 1 - \lambda_1, -1 - \lambda_2, \dots, -1 - \lambda_{n_1}$ ,  $G_2^c$  的特征值为:  $n_1 - 1 - \mu_1, -1 - \mu_2, \dots, -1 - \mu_{n_2}$ . 由  $G_1^c \cup G_2^c$  的特征值为  $G_1^c$  与  $G_2^c$  的特征值的并, 设  $G_1^c \cup G_2^c$  的邻接矩阵为  $A$ 。则:  $A + \bar{A} = J - I$ ,  $J - I$  的特征值为  $n_1 + n_2 - 1$ , 与  $-1$ 。(注  $G_1 + G_2$  不一定是正则的。) 而  $(G_1^c \cup G_2^c)^c$  中  $G_1^c$  所在子图中的顶点有  $n_1$  个, 度  $n_2 + k_1$ , 另一半有  $n_2$  个顶点, 度为  $n_1 + k_2$ 。  
若  $G_1 + G_2$  是正则的, 即  $n_2 + k_1 = n_1 + k_2$ , 此时有  $G_1 + G_2$  的特征值为:  $n_2 + \lambda_1, \lambda_2, \dots, \lambda_{n_1}, \mu_1 - n_2, \mu_2, \dots, \mu_{n_2}$ 。故:

$$\begin{aligned} \frac{\varphi(G_1 + G_2, \lambda)}{\varphi(G_1, \lambda)\varphi(G_2, \lambda)} &= \frac{(\lambda - n_2 - \lambda_1)(\lambda + n_2 - \mu_1)}{(\lambda - \lambda_1)(\lambda - \mu_1)} \Big|_{\lambda_1=k_1, \mu_1=k_2} \\ &= \frac{\lambda^2 - (k_1 + k_2)\lambda + k_1 k_2 - n_1 n_2}{(\lambda - k_1)(\lambda - k_2)} \end{aligned}$$

若  $G_1 + G_2$  非正则, 怎么证明?  $\square$

4、证明. 由图  $G$  是一个强正则图,  $G^c$  是由  $K_n$  中去掉  $G$  中的边而形成的图, 故若  $G$  的参数为  $(n, k, a, c)$ , 则  $G^c$  也是  $n$  个点的正则图。其中每个点的度为:  $n - k - 1$  (显然)。

现在考虑  $G^c$  中两个点  $x, y$  不相邻, 则:  $x, y$  在  $G$  中相连, 如下图:

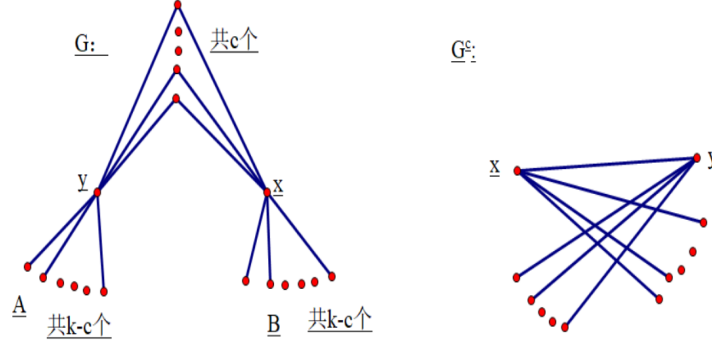


由  $x$  与  $y$  有  $a$  个共同相邻顶点, 故与  $x$  相邻的不与  $y$  相邻的顶点为  $k - a - 1$  个。如图  $\#A = \#B = k - a - 1$ , 且  $A$  与  $B$  中顶点无交集, 否则  $x$  与  $y$  就会有多于  $a$  个顶点共同相邻。此时在  $G^c$  中  $x$  与  $B$  中每个点相连,  $y$  与  $A$  中每个点相连。



由点  $x, y$  的度为  $n-k-1$ , 故  $x, y$  在  $G^c$  中至多有  $n-k-1-(k-a-1) = n-2k+a$  个点相连。再由, 若这  $n-2k+a$  个点中有一个点  $z$  与  $x$  不相连, 则在  $G$  中  $z$  与  $x$  相连。故此点必在集合  $B$  中, 这不允许, 故在  $G^c$  中任意两个不相邻顶点有  $n-2k+a$  个共同的相邻顶点。

同理, 若  $x$  与  $y$  在  $G^c$  中相邻, 则  $x$  与  $y$  在  $G$  中不相连, 如下图:



故得  $x$  与  $y$  在  $G^c$  中有:  $n-k-1-(k-c+1) = n-2k+c-2$  个共同的相邻顶点。

故  $G^c$  是强正则的, 其参数为  $(n, n-k-1, n-2k+c-2, n-2k+a)$  □

5、证明. 由图  $G$  是一个  $k$ -正则图, 故图  $G$  的边  $m = \frac{nk}{2}$ , 由定理 6.25, 代入  $m$  可得:  $\varepsilon(G) \leq k + \sqrt{k(n-1)(n-k)}$ , 由  $\varepsilon(K_n) = \sum_{i=1}^n |\lambda_i| = 2n-2$ . 故只需证明:  $(k + \sqrt{k(n-1)(n-k)})|_{k=3} \leq 2n-2$  即可, ( $n \geq 3$ )

等价于证明:  $\sqrt{3(n-1)(n-3)} \leq 2n-5$ ,

等价于证明:  $n^2 - 8n + 16 \geq 0$ . 显然成立。

故:  $\varepsilon(G) \leq \varepsilon(K_n)$ . 得证。 □

6、证明. 设  $\lambda_1, \lambda_2, \dots, \lambda_n$  是  $A$  的特征值, 由  $A$  是非奇异的, 故特征值非 0, 由不等式:  $(\frac{a_1 + a_2 + \dots + a_n}{n})^n \geq a_1 a_2 \dots a_n$ , 得:

$$\sum_{i=1}^n |\lambda_i| \geq n \prod_{i=1}^n |\lambda_i|^{\frac{1}{n}} = n |\det A|^{\frac{1}{n}} \geq n$$

(由  $A$  是图  $G$  的邻接矩阵, 故  $A$  中的元素为 0 与 1, 显然若  $A$  非奇异,  $|\det A| \geq 1$ ) □

## 7 第七章：代数连通度

1、证明. 由星形图  $K_{1,n-1}$  的关联矩阵为:

$$A = \begin{pmatrix} 0 & 1 & 1 & \dots & 1 \\ 1 & 0 & 0 & \dots & 0 \\ 1 & 0 & 0 & \dots & 0 \\ . & 0 & 0 & \dots & 0 \\ . & 0 & 0 & \dots & 0 \\ 1 & 0 & 0 & \dots & 0 \end{pmatrix}$$

故  $K_{1,n-1}$  的拉普拉斯矩阵为:

$$A = \begin{pmatrix} n-1 & -1 & -1 & \dots & -1 \\ -1 & 1 & 0 & \dots & 0 \\ -1 & 0 & 1 & \dots & 0 \\ . & 0 & 0 & \dots & 0 \\ . & 0 & 0 & \dots & 0 \\ -1 & 0 & 0 & \dots & 1 \end{pmatrix}$$

故  $L$  有一个主子阵为  $I_{n-1}$ , 故  $L - I_n$  的秩为 2, 故  $L - I_n$  的零化度为  $n - 2$ , 因此 1 是  $L$  的重数为  $n - 2$  的一个特征值, 而  $L$  显然有 0 特征值。再由  $\text{tr} L = 2n - 2 = \sum_{i=1}^n \lambda_i$ , 因此剩余一个特征值为  $n$ , 故星形图  $K_{1,n-1}$  的代数连通度为 1. □

2、待证. □

3、待证. □

4、证明. 设  $\mu$  是  $P_n$  的代数连通度,  $n$  为奇数, 且  $x$  为 fiedler 向量, 令  $x = (x_1, x_2, \dots, x_n)$ 。则  $Lx = \mu x$ 。且由对称性, 可知  $y = (-x_n, -x_{n-1}, \dots, -x_1)$  也是  $L$  的一个对应于  $\mu$  的特征向量。

$$\begin{pmatrix} 1 & -1 & 0 & \dots & 0 \\ -1 & 2 & -1 & \dots & 0 \\ 0 & -1 & 2 & \dots & 0 \\ . & 0 & 0 & \dots & 0 \\ . & 0 & 0 & \dots & -1 \\ 0 & 0 & 0 & \dots & 1 \end{pmatrix} \begin{pmatrix} x_1 \\ x_2 \\ . \\ . \\ . \\ x_n \end{pmatrix} = \mu \begin{pmatrix} x_1 \\ x_2 \\ . \\ . \\ . \\ x_n \end{pmatrix}$$

$$\begin{pmatrix} 1 & -1 & 0 & \dots & 0 \\ -1 & 2 & -1 & \dots & 0 \\ 0 & -1 & 2 & \dots & 0 \\ \cdot & 0 & 0 & \dots & 0 \\ \cdot & 0 & 0 & \dots & -1 \\ 0 & 0 & 0 & \dots & 1 \end{pmatrix} \begin{pmatrix} -x_n \\ -x_{n-1} \\ \cdot \\ \cdot \\ \cdot \\ -x_1 \end{pmatrix} = \mu \begin{pmatrix} -x_n \\ -x_{n-1} \\ \cdot \\ \cdot \\ \cdot \\ -x_1 \end{pmatrix}$$

因此  $x + y$  是  $L$  的一个 fiedler 向量。而  $x + y$  的中心的顶点值为 0，故此顶点是一个特征顶点。  $\square$

5、证明. 由定理 7.16 显然可得:

$$\mu \leq \frac{1}{d(V_1, V_2)^2} \left( \frac{1}{|V_1|} + \frac{1}{|V_2|} \right) (|E(G)| - |E(G_1)| - |E(G_2)|)$$

得:

$$(|E(G)| - |E(G_1)| - |E(G_2)|) \geq \frac{\mu m}{2}$$

而对  $Q_n$  而言,  $Q_n$  是  $Q_2$  的  $n$  重笛卡尔乘积。由第 4 章习题 2 可得:

$$L(G \times H) = L(G) \otimes I_n + I_n \otimes L(H)$$

若  $L(G)$  与  $L(H)$  的特征值为:  $\lambda_1, \dots, \lambda_n$  和  $\mu_1, \dots, \mu_m$ , 则  $L(G \times H)$  的特征值为  $\lambda_i + \mu_j, i = 1, 2, \dots, n; j = 1, 2, \dots, m$  对  $L(Q)$  而言,

$$L(Q) = \begin{pmatrix} 2 & -1 & 0 & -1 \\ -1 & 2 & -1 & 0 \\ 0 & -1 & 2 & -1 \\ -1 & 0 & -1 & 2 \end{pmatrix}$$

$$\begin{aligned}
& \begin{bmatrix} \lambda-2 & 1 & 0 & 1 \\ 1 & \lambda-2 & 1 & 0 \\ 0 & 1 & \lambda-2 & 1 \\ 1 & 0 & 1 & \lambda-2 \end{bmatrix} = \begin{bmatrix} \lambda-2 & 1 & 0 & 1 \\ 0 & \lambda-2 & 0 & 2-\lambda \\ 0 & 1 & \lambda-2 & 1 \\ 1 & 0 & 1 & \lambda-2 \end{bmatrix} \\
& = (\lambda-2) \begin{bmatrix} \lambda-2 & 0 & 2-\lambda \\ 1 & \lambda-2 & 1 \\ 0 & 1 & \lambda-2 \end{bmatrix} - \begin{bmatrix} 1 & 0 & 1 \\ \lambda-2 & 0 & 2-\lambda \\ 1 & \lambda-2 & 1 \end{bmatrix} \\
& = (\lambda-2)(\lambda-2)((\lambda-2)^2-1) - (\lambda-2)^2 + (\lambda-2)(2-\lambda-\lambda+2) \\
& = (\lambda-2)^2((\lambda-2)^2-2) - 2(\lambda-2)^2 \\
& = (\lambda-2)^2(\lambda^2-4\lambda) \\
& = \lambda(\lambda-2)^2(\lambda-4)
\end{aligned}$$

( $L(Q_2)$  的特征值为 0,2,2,4) 因此  $L(Q)$  的代数连通度为 2. 故现在要证对  $Q_n$  而言共  $2^n$  个端点存在  $V_1, V_2$ , 使得  $|V_1| = |V_2| = 2^{n-1}$ , 且  $G$  中一个端点在  $V_1$  中而另一个端点在  $V_2$  中的边的数目为:  $\frac{\mu m}{2} = 2^{n-1}$ . 而这是对于  $Q_n$  显然可以做到, 使对  $Q_3$  而言为立方体, 令  $V_1$  是立方体上面四个顶点,  $V_2$  为立方体下面四个顶点即可. 而对  $Q_n$  可令  $Q_n$  中顶点记为  $n$  长的 0,1 序列 (在  $Z_n$  中)  $V(Q_n) = Z_2^n$ . 令:

$$|V_1| = \{(0, x_2, \dots, x_n) | x_i = 0, 1 \ i = 2 \sim n\}$$

$$|V_2| = \{(1, x_2, \dots, x_n) | x_i = 0, 1 \ i = 2 \sim n\}$$

即可。  $\square$

6、证明 (未证完). 设  $f: V(G) \rightarrow \{0, 1, -1\}$  定义为: 在  $V_1$  上时等于 0, 在  $V_2$  上时等于 1, 在  $V_3$  上时等于 -1, 显然有  $f'1 = 0$ , 故由引理 4.3 的命题 (iii) 可知:

$$f'Lf = \sum_{i \sim j} (f(i) - f(j))^2$$

当  $i$  和  $j$  都在  $V_1$  或都在  $V_2$  或都在  $V_3$  中时,  $(f(i) - f(j))^2 = 0$  设一个端点在  $V_1$  中, 一个端点在  $V_2$  中的边的数目为  $m_1$ ; 一个端点在  $V_1$  中, 一个端点在  $V_3$  中的边的数目为  $m_2$ ; 一个端点在  $V_2$  中, 一个端点在  $V_3$  中的边的数目为  $m_3$ . 故:

$$f'Lf = m_1 + m_2 + m_3$$

再由引理 7.15 得:

$$f'Lf \geq \mu f'f = 2\mu f =$$

故:

$$\frac{1}{2}m_1 + \frac{1}{2}m_2 + 2m_3 \geq \mu m$$

因此: (.....)

□

7、证明. 由  $V(G)|V_1$  导出的图不连通。故  $V(G)|V_1$  的代数连通度为 0，再由定理 7.20 得:  $\mu \leq |V_1|$  显然成立。 □

8、证明. 设点  $x$  是图  $G$  中具有最小顶点度  $m$ ，即点  $x$  与  $m$  条边相连。令  $V_1$  是与点  $x$  相邻的这  $m$  条边的另一个端点的顶点集。因此  $V(G) \setminus V_1$  显然不连通，由习题 7 得:  $\mu \leq |V_1| = m$  得证。 □

9、证明. 设  $f_i = (n+1) - 2i, i = 1, 2, \dots, n$ 。注意到  $f'1 = 0$ ，再应用式 (7.17):

$$\mu f'f \leq f'Lf = \sum_{i \sim j} (f(i) - f(j))^2 = 2^2 + 2^2(n-2) + 2^2 = 4n$$

而:

$$\begin{aligned} f'f &= (n-1)^2 + (n-3)^2 + (n-5)^2 + \dots + (3-n)^2 + (1-n)^2 \\ &= 2((n-1)^2 + (n-3)^2 + \dots) \\ &= \begin{cases} 2((n-1)^2 + (n-3)^2 + \dots + 2^2) & \text{for } n : \text{odd} \\ 2((n-1)^2 + (n-3)^2 + \dots + 1^2) & \text{for } n : \text{even} \end{cases} \\ &= \begin{cases} \frac{n(n-1)(n+1)}{3} & \text{for } n : \text{odd} \\ \frac{n(n+1)(n-1)}{3} & \text{for } n : \text{even} \end{cases} \end{aligned}$$

注: 平方和公式:

$$\sum_{k=1}^n k^2 = \frac{n(n+1)(2n+1)}{6}$$

连续偶数平方和:

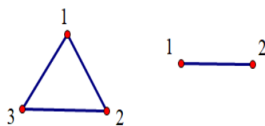
$$\begin{aligned}
 & 2^2 + 4^2 + \cdots + (n-3)^2 + (n-1)^2 \\
 &= 2^2 + 4^2 + \cdots + \left(2 \cdot \frac{n-3}{2}\right)^2 + \left(2 \cdot \frac{n-1}{2}\right)^2 \\
 &= 4(1^2 + 2^2 + 3^2 \cdots + \left(\frac{n-1}{2}\right)^2) \\
 &= 4 \cdot \frac{\frac{n-1}{2}(\frac{n-1}{2} + 1)(\frac{n-1}{2} + 1)}{6} \\
 &= \frac{n(n-1)(n+1)}{6}
 \end{aligned}$$

连续奇数平方和:

$$\begin{aligned}
 & 1^2 + 3^2 + \cdots + (n-3)^2 + (n-1)^2 \\
 &= 1^2 + 3^2 + \cdots + (n-3)^2 + \left(2 \cdot \frac{n}{2} - 1\right)^2 \\
 &= [1^2 + 2^2 + 3^2 + \cdots + \left(2 \cdot \frac{n}{2}\right)^2] - [2^2 + 4^2 + \cdots + \left(2 \cdot \frac{n}{2}\right)^2] \\
 &= \frac{n(n+1)(2n+1)}{6} - \frac{n(n+2)(n+1)}{6} \\
 &= \frac{n(n+1)(n-1)}{6}
 \end{aligned}$$

$$\text{故: } \mu \leq \frac{4n \cdot 3}{n(n+1)(n-1)} = \frac{12}{n^2-1} \quad \square$$

10、证明. 不一定。当一个连通图中去掉一个顶点后, 变为非连通图, 其代数连通度显然会下降。但也不一定所有图去掉一个顶点后, 其代数连通度会下降。例如:



$$L_1 = \begin{pmatrix} 2 & -1 & -1 \\ -1 & 2 & -1 \\ -1 & -1 & 2 \end{pmatrix}$$

$$L_1 = \begin{pmatrix} 1 & -1 \\ -1 & 1 \end{pmatrix}$$

$L_1$  的特征值为  $0, 1, 3$ ,  $L_2$  的特征值为  $0, 2$ .  $L_1$  的代数连通度下于  $L_2$  的代数连通度。 $\square$

## 8 第八章：树的距离矩阵

1、证明. 类似于定理 8.2, 对顶点重新编号后可以假设顶点  $n$  是一个悬挂顶点且相邻于顶点  $n-1$ , 且  $n-1$  与  $n$  之间边为  $e_{n-1}$ , 注意:  $d(i, n) = d(i, n-1) + w_{n-1}, (i = 1, 2, \dots, n-1)$ 。在  $D$  中, 从第  $n$  列中减去第  $n-1$  列, 并从第  $n$  行中减去第  $n-1$  行, 把得到的矩阵称为矩阵  $D_1$ , 除元素  $(n, n)$  是  $-2w_{n-1}$  外,  $D_1$  的最后一行, 最后一列的所有元素都是  $w_{n-1}$ 。对顶点  $1, 2, \dots, n-1$  重新编号, 使得  $n-1$  是悬挂顶点且相邻于点  $n-2$ , 通过置换  $D_1$  的行和列可以得到一个矩阵, 在这个矩阵中从第  $n-1$  列减去第  $n-2$  列。并从第  $n-1$  行减去第  $n-2$  行。不断重复这种方法得到如下矩阵:

$$D_2 = \begin{pmatrix} 0 & w_1 & w_2 & \cdots & w_{n-1} \\ w_1 & -2w_1 & 0 & \cdots & 0 \\ w_2 & 0 & -2w_2 & \cdots & 0 \\ \cdot & \cdot & \cdot & \cdots & \cdot \\ \cdot & \cdot & \cdot & \cdots & \cdot \\ w_{n-1} & 0 & 0 & \cdots & -2w_{n-1} \end{pmatrix}$$

故  $\det D = \det D_2$  通过行列式 Schur 补公式得:

$$\begin{aligned} \det D_2 &= (-2)^{n-1} \prod_{i=1}^{n-1} w_i \times (w_1, w_2, \dots, w_{n-1}) \begin{pmatrix} \frac{1}{2}w_1^{-1} & 0 & 0 & \cdots & 0 \\ 0 & \frac{1}{2}w_2^{-1} & 0 & \cdots & 0 \\ \cdot & \cdot & \cdot & \cdots & \cdot \\ \cdot & \cdot & \cdot & \cdots & \cdot \\ 0 & 0 & 0 & \cdots & \frac{1}{2}w_n^{-1} \end{pmatrix} (w_1, w_2, \dots, w_{n-1})' \\ &= (-2)^{n-1} \prod_{i=1}^{n-1} w_i \times \frac{1}{2} \left( \sum_{i=1}^{n-1} w_i \right) \\ &= (-1)^{n-1} 2^{n-2} \left( \sum_{i=1}^{n-1} w_i \right) \prod_{i=1}^{n-1} w_i \end{aligned}$$

$\square$

2、待证. 同第一题证明过程, 或定理 8.2 证明过程。 $\square$

3、证明. 若  $\alpha \neq 0$ , 则考虑行列式:

$$\begin{bmatrix} -D & 1 \\ 1' & \frac{1}{\alpha} \end{bmatrix}$$

由 Schur 补公式得:

$$\begin{aligned} \begin{bmatrix} -D & 1 \\ 1' & \frac{1}{\alpha} \end{bmatrix} &= \det(-D) \det\left(\frac{1}{\alpha} + 1' D^{-1} 1\right) \\ &= (-1)^{n-1} \det(D) \left(\frac{1}{\alpha} + 1' D^{-1} 1\right) \\ &= \frac{1}{\alpha} \det\left(-D - 1\left(\frac{1}{\alpha}\right)^{-1} 1'\right) \\ &= \frac{1}{\alpha} \det(-D - \alpha J) \\ &= (-1)^{n-1} \frac{1}{\alpha} \det(D + \alpha J) \end{aligned}$$

故得:  $\det(D + \alpha J) = \alpha \cdot \det(D) \cdot \left(\frac{1}{\alpha} + 1' D^{-1} 1\right)$  由引理 8.7  $D\tau = (n-1)1$ , 故  $\frac{1}{n-1}\tau = D^{-1}1$ . 故:  $\frac{1}{n-1}1'\tau = 1' D^{-1}1$  由引理 8.6:  $1'\tau = 2$ , 故  $\frac{2}{n-2} = 1' D^{-1}1$ 。从而的:

$$\begin{aligned} \det(D + \alpha J) &= \det(D) \cdot \left(1 + \frac{2\alpha}{n-1}\right) \\ &= (-1)^{n-1} (n-1) 2^{n-2} + (-1)^{n-1} 2^{n-1} \alpha \end{aligned}$$

若  $\alpha = 0$ , 由定理 8.2,  $\det(D) = (-1)^{n-1} (n-1) 2^{n-2}$  显然成立。  $\square$



4、证明. 由:

$$\begin{aligned}
& (D^{-1} - L) \cdot \frac{1}{3}(D + (n-1)J) \\
&= \frac{1}{3}(D^{-1}D + (n-1)D^{-1}J - LD - (n-1)LJ) \\
&= \frac{1}{3}(I + (n-1)D^{-1}J + 2I - \tau 1' - (n-1)LJ) \quad \text{引理 8.8} \\
&= \frac{1}{3}(3I + (n-1)D^{-1}J - \tau 1' - (n-1)LJ) \quad \text{定理 8.9} \\
&= \frac{1}{3}(3I + (n-1)(-\frac{1}{2}LJ + \frac{1}{2(n-1)}\tau\tau'J) - \tau 1' - (n-1)LJ) \\
&= \frac{1}{3}(3I - \frac{3(n-1)}{2}LJ + \frac{1}{2}\tau\tau'J - \tau 1') \\
&= \frac{1}{3}(3I + \frac{1}{2}\tau\tau'J - \tau 1') \quad \text{引理 8.6} \\
&= \frac{1}{3}(3I + \frac{1}{2}\tau(2, 2, \dots, 2) - \tau 1') \quad (1^\tau = 2) \\
&= I
\end{aligned}$$

□

5、证明. 假设对于某个向量  $x$ , 有  $(D^{-1} - S)x = 0$ , 方程两边左乘  $1'$ , 并对  $D^{-1}$  使用定理 8.9 得:  $1'(-\frac{1}{2}L + \frac{1}{2(n-1)}\tau\tau' - S)x = 0$ , 再由  $1'\tau = 2$ . 使得  $\frac{1}{n-1}\tau'x = 0$  得:  $\tau'x = 0$ . 因此:  $(-\frac{1}{2}L - S)x = 0$ , 其中  $L$  是  $T$  的拉普拉斯矩阵. 那么:  $x'(-\frac{1}{2}L - S)x = 0$ , 对于  $\frac{1}{2}L + S$  是半正定的, ( $L, S$  均为拉普拉斯矩阵, 由定理 4.3 得) 故:

$$\frac{1}{2}x' Lx + x' Sx = 0$$

由引理 4.3 的 (iii) 得:  $x = 0$ . 故  $(D^{-1} - S)$  的零空间为 0, 因此  $D^{-1} - S$  是非奇异的. □

6、待证. □

## 9 第九章: 电阻距离

1、待证. □

2、证明. 由引理 9.9 有:

$$\sum_{i=1}^n \sum_{j \sim i} r(i, j) = 2(n-1)$$

而  $C_n$  是圈，由对称性得：

$$\sum_{j \sim i} r(i, j) = \frac{1}{n} \sum_{i=1}^n \sum_{j \sim i} r(i, j) = \frac{2}{n}(n-1) = 2 - \frac{2}{n}$$

□

3、证明. 若不是存在唯一顶点  $i, j$  路径，则  $i, j$  路径中存在一个圈，由串并联电路的知识，并联会使电阻减小，且减少任意一个参与并联的电阻块，故会有： $r(i, j) < d(i, j)$ ，矛盾。故存在唯一的  $i - j$  路径。 □

4、待证（未证）？. 由定理 9.12 可知，如果  $x$  是一个与  $\tau$  正交的  $n \times 1$  向量，则有： $x' Rx \leq 0$  □

5、证明. 由割顶点的定义，当图  $G \setminus \{k\}$  时，会有至少两个连通分支，其中点  $i, j$  分别在不同的连通分支中，故任意从  $i$  到  $j$  的路途必经过点  $k$ 。故由串联电路的知识有：

$$r(i, j) = r(i, k) + r(k, j)$$

□

6、证明. 使用式 (9.3) 和定理 4.7，由式 (9.3) 得：

$$r(i, j) = \frac{\det L(i, j|i, j)}{\det L(j, j)}$$

再由定理 4.7 及  $G$  是连通图， $\det L(i, j) = \kappa(G)$ ， $\det L(i, j|i, j)$  为含有 2 个分支的支撑森林的数量，其中每个分支都包含了  $i$  或  $j$  的一个顶点，故  $\det L(i, j|i, j) = \kappa'(G)$ ，故：

$$r(i, j) = \frac{\kappa'(G)}{\kappa(G)}$$

□

7、待证. □

8、证明. 见引理 9.9. 已证。 □

9、待证. □

10、待证. □

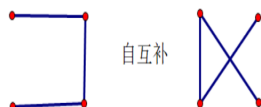
## 10 第十章：阈图的拉普拉斯特征值

1、待证. □

2、证明. 使用一个二进制序列  $b_1, \dots, b_n$ , 其中  $b_1 = 1$ , 来对阈图进行编码, 在获得该图的递归过程中, 如果  $b_i = 0$ , 那么就加入一个孤立顶点, 如果  $b_i = 1$  就加入一个支配顶点, 因此一个二进制序列  $b_1 \dots b_n (b_1 = 1)$  的数量为  $2^{n-1}$  个, 故具有  $n$  个顶点的非同构阈图的数量是  $2^{n-1}$ . □

3、待证. □

4、待证. □



5、证明. 可以用递归的方法来检查一个图是否为余图。采用  $G$  的补图。则它将被分裂成连通分支, 其中每个分支均为一个余图。因此, 如果采用  $G^c$  的分支, 并重复取补图的过程。那么如果这个图是一个余图, 必然将会在孤立顶点时停止这一过程。因为  $P_4$  是自补的, 所以  $P_4$  的存在将不会导致这种情况发生。附带地, 已知不含有  $P_4$  作为一个导出子图是余图的一个特性。 □

6、证明. 设  $L$  为分裂图的拉普拉斯矩阵, 则: 令  $d = |V_1| + |V_2| - 1 = n - 1, m = |V_1|, a = |V_2|$  故:

$$L = \begin{pmatrix} nI - J & -J \\ -J & mI \end{pmatrix}$$

$$\begin{aligned}
|\lambda I - J| &= \begin{vmatrix} \lambda I - nI + J & J \\ J & (\lambda - m)I \end{vmatrix} \\
&= (\lambda - m)^{|V_2|} \det((\lambda I - nI + J)_{m \times a} - J((\lambda - m)I)^{-1} J_{a \times m}) \\
&= (\lambda - m)^a \det(((\lambda - n)I + J)_{m \times m} - \frac{a}{\lambda - m} J_{m \times m}) \\
&= (\lambda - m)^a \det((\lambda - n)I + \frac{\lambda - m - a}{\lambda - m} J)_{m \times m} \\
&= (\lambda - m)^a (\lambda - n)^{m-1} (\lambda - n + m \cdot \frac{\lambda - m - a}{\lambda - m}) \\
&\quad \text{由引理 4.4 得: } |aI + bJ| = a^{n-1}(a + nb) \\
&= (\lambda - m)^a (\lambda - n)^{m-1} ((\lambda - n)(\lambda - m) + m\lambda - m^2 - am) \\
&= (\lambda - m)^a (\lambda - n)^m \lambda \quad (mn = m(m + a))
\end{aligned}$$

因此分裂图的拉普拉斯特征值为:  $n$  (重数  $|V_1|$ ),  $|V_1|$  (重数  $|V_2| - 1$ ), 与  $0$ .

或, 由图  $G$  是一个阈图, 其  $G$  的度序列是:  $|V_1|$  个  $n-1$ ,  $|V_2|$  个  $|V_1|$  故由定理 10.8 可得:  $L(G)$  的特征值为:  $n$  (重数  $|V_1|$ ),  $|V_1|$  (重数  $|V_2| - 1$ ), 与  $0$ .

现考虑  $K_m \setminus G, m \geq n$ .

当  $m = n$  时,  $K_m \setminus G$  是不连通的, 故此时  $K_m \setminus G$  的支撑树数量为  $0$ .

当  $m > n$  时,  $K_m \setminus G$  可以看作是一个阈图, 其度序列为:  $m-n$  个  $m-1$ ,  $|V_1|$  个  $m-n$ , 及  $|V_2|$  个  $m - |V_1| - 1$ .

故由定理 10.8 可得  $K_m \setminus G$  的特征值为:  $m-n$  个  $m$ ,  $|V_2| - 1$  个  $m - |V_1|$ ,  $|V_1|$  个  $m-n$ , 及  $0$ . 因此由矩阵-树定理得:  $K_m \setminus G$  中的支撑树的数量为:

$$\frac{m^{m-n-1}(m - |V_1|)^{|V_2|-1}(m-n)^{|V_1|}}{m} = m^{m-n-1}(m - |V_1|)^{|V_2|-1}(m-n)^{|V_1|}$$

□

7、待证.

□

8、证明. 由  $K_n \times K_2$  (P50 页定义) (由习题 5): 取补仍是连通图, 故  $K_n \times K_2$  不是余图. 由  $K_2$  的拉普拉斯特征值为  $2, 0$ .  $K_n$  的拉普拉斯特征值为  $n$  ( $n-1$  重),  $0$  ( $1$  重). 由第四章习题 2, 得  $K_n \times K_2$  的拉普拉斯特征值为:  $n+2$  ( $n-1$  重),  $n$  ( $n-1$  重),  $2$  ( $1$  重),  $0$  ( $1$  重). 故  $K_n \times K_2$  是一个拉普拉斯整数图.

□

## 11 第十一章：正定完备问题

1、证明. 当且仅当一个图的二部补有一个尺寸为  $k$  的匹配时, 这个图才是秩为  $k$  的可完备化图。

证明类似于定理 11.2 的证明过程: 首先假设  $G^c$  有一个尺寸为  $k$  的匹配, 并不失一般性假设它由边  $(R_i, C_{\sigma(i)}), i = 1, 2, \dots, k$  决定的,  $\sigma$  是一个  $k$  排列, 令  $A$  为一个  $G$ —部分矩阵, 令  $A$  的  $(R_i, C_{\sigma(i)})$ —元素为  $x, i = 1, 2, \dots, k$ , 并令其余未被定义的元素为 0, 可以获得一个矩阵  $A(x)$ , 那么  $A(x)$  存在一个  $k \times k$  的子式  $B(x)$ ,  $\det(B(x))$  是关于  $x$  的  $n$  阶多项式, 其首项为  $\pm x^n$ , 因此对于  $x$  的某个值,  $\det B(x)$  非零, 所以  $B(x)$  是非奇异的, 从而可知  $G$  是一个秩为  $k$  的可完备化图。

反之, 假设  $G^c$  没有尺寸为  $k$  的匹配, 那么根据 Koning-Egervary 定理,  $G^c$  有一个尺寸小于  $k$  的顶点覆盖。不失一般性, 设形成  $G^c$  顶点覆盖的顶点为  $R_1, \dots, R_h$  和  $C_1, \dots, C_s$ , 其中  $h+s < k$ , 令  $A$  为  $m \times m$  部分矩阵, 其中只要  $R_i$  与  $C_j$  在  $G$  中相邻, 就有  $a_{i,j} = 0$ , 那么由  $A$  的行  $h+1, \dots, m$  和列  $s+1, \dots, n$  所组成的子矩阵是 0, 令  $B$  为  $A$  的任意一个秩为  $k$  的完备。设矩阵  $C$  为  $B$  的一个  $k \times k$  的子式, 则显然  $\det C = 0$ , 因此  $G$  不是秩至少为  $k$  的矩阵。□

2、证明. 由弦图的定义, 不含有一个作为导出子图的  $k$  个顶点的圈  $C_k$  ( $k \geq 4$ ) 或对任意  $C_k$  ( $k \geq 4$ ) 有一个弦。显然可知分裂图  $G$  是弦图, 由分裂图的定义, 可知分裂图的补图仍是分裂图, 故  $G$  和  $G^c$  都是弦图。□

3、证明. 例:  $G = C_4$  不是弦图, 设  $A$  为  $C_4$  的一个部分正定阵:

$$A = \begin{pmatrix} 2 & 1 & ? & 0 \\ 1 & 3 & 1 & ? \\ ? & 1 & 3 & 1 \\ 0 & ? & 1 & 2 \end{pmatrix}$$

取 ? 全为 0, 可知  $A$  为正定矩阵。故矩阵  $A$  存在一个正定完备。□

4、证明. 由第 3 题而来, 稍作调整:

$$A = \begin{pmatrix} 5 & 1 & ? & 0 \\ 1 & 3 & 1 & ? \\ ? & 1 & 3 & 1 \\ 0 & ? & 1 & 4 \end{pmatrix}$$

为部分正定矩阵。当：

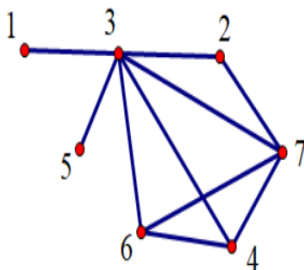
$$B = \begin{pmatrix} 5 & 1 & 0 & 0 \\ 1 & 3 & 1 & 0 \\ 0 & 1 & 3 & 1 \\ 0 & 0 & 1 & 4 \end{pmatrix}$$

时， $B$  为正定矩阵。当：

$$C = \begin{pmatrix} 5 & 1 & 0 & 1 \\ 1 & 3 & 1 & 0 \\ 0 & 1 & 3 & 1 \\ 1 & 0 & 1 & 4 \end{pmatrix}$$

时， $C$  为正定矩阵。 □

5、证明. 设  $G$  是一个具有顶点集  $V(G) = \{1, 2, \dots, 7\}$  的图，当且仅当  $a_{ij} \neq 0$  时，才有  $i \sim j$  那么  $G$  如下：



因此  $G$  是一个弦图。且  $G$  的完美消除序列为 1, 2, 4, 5, 6, 7, 3 按照这个顺序，使用主元的高斯消去法，首先，从其他行减去第 1 行合适倍数来将除 (1,1)-元素外的第一列的所有元素减为 0，然后，从剩余列中减去第 1 列的合适倍数来将除 (1,1)-元素外的第 1 列的所有元素减为 0。在第 2 行和第 2 列上重复上述过程，然后是第 4 行和第 4 列，等等。在这个过程中，没有 0 元素将会被变为非 0 元素。

(猜测：这也是完美消除序列名称的由来)。 □

6、证明. 利用雅可比恒等式：由于  $A$  为  $n \times n$  正交矩阵，故  $A \cdot A^T = I$ ， $\det A = \pm 1$ ，即： $A^{-1} = A^T$ 。由 P184 页公式：

$$\det B[S|T] = \frac{\det A(T|S)}{\det A}$$

得:

$$\det A^{-1}[S|T] = \det A^T[S|T] = \frac{\det A(T|S)}{\det A} = \pm \det A(T|S)$$

由此得出:  $\det A[T|S] = \pm \det A(T|S)$  得证。  $\square$

## 12 第十二章: 基于图的矩阵博弈

1、待证。  $\square$

2、证明. 由引理 12.6, 选手  $I$  与  $II$  有相同的最优化策略集, 在由定理 12.15 有:

$$\dim(\text{Opt}_I(A)) = |S| - \text{rank} B - 1$$

反对称矩阵的秩为偶数 (结论),  $B = A[S|S]$  是反对称矩阵, 故  $\dim(\text{Opt}_I(A))$  与  $|S|$  有相反的奇偶性。

(题有没有问题?)  $\square$

3、证明. 最优策略集由在  $P_n$  中的向量组成, 其中  $P_n$  是在  $A$  的零空间中, 由于每一个纯策略都是基本策略, 故令  $S = A$ , 由定理 12.15 得:

$$\begin{aligned} \dim(\text{Opt}_I A) &= \dim(\text{Opt}_{II}(A)) \\ &= \text{nullity}(A) - 1 \\ &= \#A - \text{rank} A - 1 \\ &= n - 1 - \text{rank} A \end{aligned}$$

$\square$

4、证明. 由定理 12.18, 得只需证明:  $\sum_v \rho(v) \leq \frac{m(m-1)}{2}$  即可, 但是当三个顶点两条边时:

(图)

$$\sum_v \rho(v) = 3 \leq \frac{2(2-1)}{2} = 1$$

(题有没有问题? 还是我理解错了?)  $\square$

5、证明. 对于图 12.3 有关联矩阵  $Q$  为:

$$Q = \begin{pmatrix} 1 & 0 & 0 & -1 \\ -1 & 1 & 1 & 0 \\ 0 & 0 & -1 & 1 \\ 0 & -1 & 0 & 0 \end{pmatrix}$$

由于  $G$  有一个有向圈故  $V(Q) = 0$  对于选手  $I$ :

$$x = (\frac{1}{3}, \frac{1}{3}, \frac{1}{3}, 0)' \text{ 时有: } x'Q = (0, 0, 0, 0)$$

$$x = (\frac{1}{4}, \frac{1}{4}, \frac{1}{4}, \frac{1}{4})' \text{ 时有: } xQ = (0, 0, 0, 0)$$

故选手  $I$  有不只 1 个最优策略。

□